

その他両鋼の違いとして観察されたことは SK2 は pearlite 変態の前に cementite の析出が行なわれるが PC11 は前以つて cementite の初析は行なわれず pearlite 変態とともに析出が行なわれるようである。

V02C10, V1C08 のバナジウム添加鋼は電解鉄、不純物の少ない砂鉄、電気炉銑、フェロバナジウムを原料として作り Si, Mn, P, S を低くおさえた。

Fig. 2 は V02C10 の 900°C-10mn オーステナイト化の場合の S 曲線である。当鋼は C 0.96% に V 0.16% 添加したもので、この添加量では特殊炭化物を形成するにいたらず、 $Fe_3C$  中に固溶しているものと思われる、変態は非常に速く起り 600°C においては 1 秒以下で変態が始まる。そして 550°C 以下の恒温浴への投入にさして当実験の操作条件においては 600°C の pearlite nose を回避できず、550°C 以下においては 1~3 秒にして pearlite が生成される。

Fig. 3 は V1C08 の S 曲線である。当鋼は C 0.74% に V 0.82% 添加したものである。この組成では V の特殊炭化物が存在する範囲に入る、V 炭化物はオーステナイトに溶け難いとされており、この場合は 2 つのオーステナイト化温度として 900°C-10mn, 1050°C-10mn について S 曲線を求めた、1050°C-10mn においては微粒の残存物も認められるようであるが大体溶解しているようである。

V02C10 よりは変態は遅く起る、オーステナイト化温度が高くなり V 炭化物の溶解が進むにしたがい変態は遅く起り pearlite 段階と bainite 段階は分離する傾向を探る、これは析出する炭化物の形態が両段階で異なるようになるためと考えられる。

Table 1. Chemical composition of materials tested (%)

Composition	C	Si	Mn	P	S	Cr	Cu	Ni	Sn
Melting process									
Air-melted (LM)	1.01	0.29	0.35	0.015	0.008	1.40	0.11	0.05	0.019
Cons-el Arc melted (CLM)	1.00	0.29	0.29	0.013	0.008	1.38	0.11	0.05	0.014
Air-melted (HM)	1.02	0.31	0.48	0.014	0.009	1.48	0.11	0.05	0.016
Cons-el Arc melted (CHM)	1.02	0.30	0.31	0.012	0.008	1.46	0.10	0.05	0.014

Table 2. Gas components of materials tested

Melting process	Composition (%)	
	O	H
Air-melted (LM)	0.0047	0.0091
Cons-el Arc melted (CLM)	0.0030	0.0071
Air-melted (HM)	0.0042	0.0089
Cons-el Arc melted (CHM)	0.0015	0.0060

試験材を用いて回転曲げ疲労試験および転動寿命試験を行なつたのでその結果を報告する。

## II. 供 試 材

供試材の化学成分およびガス分析結果を Table 1, Table 2 に示す。

第 1 報に述べたごとき鉄塊を、小野式疲労試験用試料 (A 試料) としては 20mm φ 丸棒に、寿命試験用試料

(B 試料) としては  $12\text{mm} \phi$  に鍛造した。ついで球状化焼鈍後それぞれ大略の試験片形状に加工し、焼入焼戻し後 (A 試料:  $845^{\circ}\text{C} \times 30\text{mn} \rightarrow$  油焼入,  $170 \sim 180^{\circ}\text{C} \times 2\text{h}$  焼戻し, B 試料:  $860^{\circ}\text{C} \times 12\text{mn} \rightarrow 200^{\circ}\text{C}$  ソルト中焼入,  $150^{\circ}\text{C} \times 30\text{mn}$  焼戻し), 研磨により最終形状に加工した。

### III. 試験結果

#### 1. 小野式疲労試験結果

熱処理による歪を考慮して、平行部直径  $8\text{mm} \phi$ , 全長  $80\text{mm}$  の普通よりも短い試験片を用い特殊のチャッキングロッドを使用して疲労試験を行なつた。疲労試験結果を Table 3 に示す。この結果、 $10^7$  繰返数における疲労強度は空気中溶解材の場合で  $69.5 \sim 72.0\text{kg/mm}^2$ , コンセルアーク材の場合で  $87.0 \sim 96.5\text{kg/mm}^2$  でコンセルアーク材が明らかに大きい疲労強度を示している。

J. H. MOORE が軸受鋼 52, 100 の空気中溶解材、真空

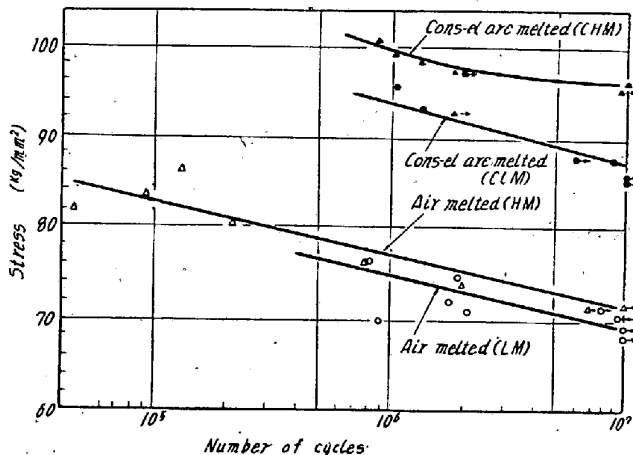


Fig. 1. Fatigue S-N curve of rotating bending test.

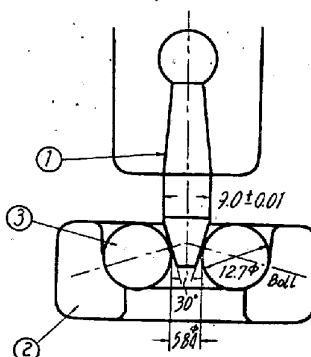


Fig. 2. Principal part of the rolling fatigue test machine (By courtesy of the Toyo Bearing Mfg. Co. Ltd.).

溶解材について実施した疲労試験の結果<sup>2)</sup>は  $10^7$  繰返数における疲労強度はそれぞれ  $70\text{kg/mm}^2$ ,  $91\text{kg/mm}^2$  および  $102\text{kg/mm}^2$  であり本報告における実験結果とほとんど一致している。

#### 2. 寿命試験

使用した試験材の主要部は Fig. 2 のごとく、ピボット状試験片

Table 3. Results of rotating-bending fatigue test.

Melting process	Stress kg / mm <sup>2</sup>	Number of cycles to breaking	Fatigue strength at $10^7$ cycles
Air-melted LM	76.7	$8 \cdot 17 \times 10^5$	$69.5\text{kg/mm}^2$
	74.7	$2 \cdot 96 \times 10^6$	
	72.2	$2 \cdot 55 \times 10^6$	
	71.2	$> 8 \cdot 00 \times 10^6$	
	71.0	$3 \cdot 30 \times 10^6$	
	69.9	$8 \cdot 92 \times 10^5$	
	69.4	$> 5 \cdot 00 \times 10^6$	
	69.3	$> 1 \cdot 00 \times 10^7$	
Air-melted HM	68.3	$> 1 \cdot 00 \times 10^7$	$72.0\text{kg/mm}^2$
	86.4	$1 \cdot 55 \times 10^5$	
	83.6	$9 \cdot 29 \times 10^4$	
	81.9	$4 \cdot 59 \times 10^4$	
	80.2	$3 \cdot 20 \times 10^5$	
	76.5	$7 \cdot 99 \times 10^5$	
	73.9	$2 \cdot 96 \times 10^6$	
	72.0	$> 1 \cdot 00 \times 10^7$	
	71.6	$> 6 \cdot 94 \times 10^6$	
	70.7	$> 9 \cdot 01 \times 10^6$	
Cons-el Arc melted CLM	97.3	$> 3 \cdot 00 \times 10^6$	$87.0\text{kg/mm}^2$
	95.5	$1 \cdot 08 \times 10^6$	
	93.2	$1 \cdot 63 \times 10^6$	
	87.8	$8 \cdot 78 \times 10^6$	
	87.8	$> 6 \cdot 00 \times 10^6$	
	86.1	$> 1 \cdot 01 \times 10^7$	
	85.6	$> 8 \cdot 00 \times 10^6$	
Cons-el Arc melted CHM	100.7	$8 \cdot 58 \times 10^5$	$96.5\text{kg/mm}^2$
	99.5	$1 \cdot 03 \times 10^6$	
	98.5	$1 \cdot 70 \times 10^6$	
	97.5	$2 \cdot 66 \times 10^6$	
	96.5	$> 1 \cdot 00 \times 10^7$	
	95.5	$> 9 \cdot 31 \times 10^6$	
	93.2	$> 2 \cdot 56 \times 10^6$	

①の円錐面を軌道輪②の中の鋼球③と転動させ疲れ剝離(フレーキング)を生じさせるものである。

試験条件は、試験片と鋼球との接触荷重  $64.7\text{kg}$  (ベルツの最大接触応力  $540\text{kg/mm}^2$ ), 試験片回転数  $10,000\text{r.p.m.}$  潤滑は  $140$  ターピン油潤滑である。

LM および CLM 試料より前述せる条件でそれぞれ 3 個の試験片を製作し、フレーキングをおこすまでの回転回数を求めた。試験結果を Fig. 3 に示す。左側は

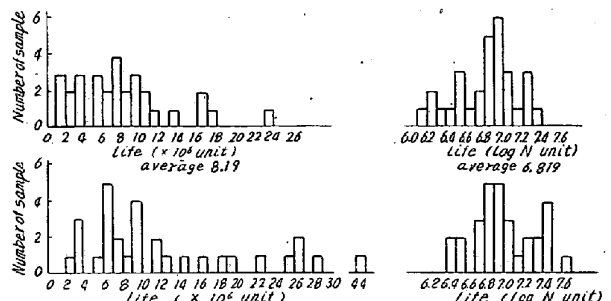


Fig. 3. Results of the rolling fatigue test.

Table 4. Sand analyses of materials tested (%)

Melting process	SiO <sub>2</sub>	Al <sub>2</sub> O <sub>3</sub>	FeO	Cr <sub>2</sub> O <sub>3</sub>	MnO
Air-melted (LM)	0.0001	0.0058	0.0004	None	None
Cons-el Arc melted (CLM)	0.0001	0.0030	0.0005	"	"
Air-melted (HM)	0.0002	0.0075	0.0004	"	"
Cons-el Arc melted (CHM)	0.0001	0.0012	0.0003	"	"

寿命をそのまま、右側は寿命の対数を横軸にとつてあり、これではほぼ正規分布になつてゐる。Fig. 3のごとく CLM の平均寿命は LM の約 1.5 倍で、有意差が認められた。

#### IV. 結 言

軸受鋼の寿命試験には各種の試験方法が研究され実施されつつあり、材質の優劣にはそれらを広く総合して判定しなければならないと考えられる。その一例として今回実施した回転曲げ疲労試験ならびに転動寿命試験結果から、コンセルアーク溶解により軸受材料の寿命の改善されることは確かと考えられるが、それらの全貌を知るためにには多くの試験を実施する必要があろう。

軸受鋼の寿命におよぼす要因については幾多の研究がされているが、たとえば最近の統計的研究<sup>3)</sup>から寿命と相互関係を有するものとして、Cu, As の微量不純分、B型非金属介在物、炭化物粒度、圧壊荷重などがあげられている。

本試験に使用した試料では、前述せるごとくコンセルアーク材の酸素がいちじるしく減少している。

B型非金属介在物は主として酸化物系であるが、サンド分析の結果は Table 4 のごとくコンセルアーク溶解によりいちじるしくアルミナ系酸化物が減少しており、上述と考えあわせて、疲労性質向上の一因と考えられる。

#### 文 献

- 1) 高尾、西原、八木: 鉄と鋼, 46 (1960) 12, p. 1543
- 2) J. H. MOORE: Iron Age, 171 (1953) 14, p. 154
- 3) 黒田: 日本機械学会誌, 63 (1960) 502, p. 1442

### (141) 真空熔解した軸受鋼について

金属材料技術研究所

工博 上野 学・○中島宏興・池田定雄

Vacuum-Melted Bearing Steels.

Dr. Manabu UENO, Hirooki NAKAJIMA  
and Sadao IKEDA.

#### I. 緒 言

真空技術のいちじるしい進歩とともに最近の真空熔解の発展はめざましく、各種の金属や合金に適用されるようになつた。真空熔解による軸受鋼についても幾つかの文献が発表され、清浄度、疲労強度の向上などが報告されている。筆者たちも真空誘導熔解による軸受鋼については、SKF 軸受鋼と比較実験を行ないすでにこれを発表したが<sup>1)</sup>この結果を再確認するためと消耗電極式真空アーケ熔解による軸受鋼の評価のために実験を行なつたのでその結果をここに報告する。

#### II. 実 験 試 料

実験に用いた試料は真空誘導熔解によるもの 2 種 (A, B), 大気熔解によるもの 1 種 (C), 真空アーケ熔解によるもの 2 種 (D, E), 合計 5 種の軸受鋼 (SUJ 2) で、D は C を再熔解したものである。その化学組成およびガス成分は Table 1 に示されるとおりである。真空熔解により蒸気圧の高い Mn はかなり減少しており、Cu や As も減っている。N の減少もいちじるしい。

これら 5 種の鋼材を鍛造、圧延したのち 60φ × 5mm の円板に加工して疲労試験とした。熱処理は後に述べるように組織試験の結果から 840°C × 40mn 加熱後油焼入し、150° × 1 h 烧戻した。

#### III. 組織 試 験

##### 1. 非金属介在物

真空熔解により非金属介在物が減少し清浄な鋼になることは数多く報告されている。Fig. 1 は JIS 法による非金属介在物の面積率を示したもので、真空熔解による非金属介在物の減少はいちじるしくとくに B 系介在物はほとんど測定されなくなり、全量は約半分になつてゐる。真空誘導熔解の A は C 系介在物がかなり多いが、これは耐火物などの外的汚染によるものと思われる。